

испарение, изменение кристаллической структуры, либо химическими реакциями дегидратации, диссоциации. Превращения, которые при нагревании сопровождаются экзотермическими эффектами, встречаются значительно реже: это процессы окисления и некоторые структурные превращения.

#### ЛИТЕРАТУРА

1. Аввакумов Е. Г. Механические методы активации химических процессов. -2-е изд.- Новосибирск: Наука, 1986.
2. Жебентяев А.И., Жерносек А.К., Талуть И.Е. Аналитическая химия. Химические методы анализа. – Минск: Новое Знание; 2011. - 542 с.
3. Баженова Л.Н. Количественный элементный анализ органических соединений. – Екатеринбург: 2008. - 356 с.
4. Кузнецова Г.А. Качественный рентгенофазовый анализ. – Иркутск: 2005. – 28 с.

Кидалов В. В.<sup>1</sup>, Дяденчук А. Ф.<sup>1</sup>, Бачериков Ю. Ю.<sup>2</sup>, Жук А. Г.<sup>2</sup>,  
Батурина В. А.<sup>3</sup>, Рогозин И. В.<sup>1</sup>, Филоненко М. Н.<sup>4</sup>,  
Карпенко О. Ю.<sup>4</sup>, Кидалов В. В.<sup>1</sup>

(<sup>1</sup> Бердянский государственный педагогический университет, г. Бердянск,  
Украина

<sup>2</sup> Институт физики полупроводников им. В. Е. Лашкарева НАН Украины,  
г. Киев,

<sup>3</sup> Институт прикладной физики НАН Украины, Украина, г. Суми

<sup>4</sup> Национальный педагогический университет им. М. П. Драгоманова,  
Украина, г. Киев)

### ПЛЕНКИ ZnO ПОЛУЧЕННЫЕ НА МЕЗО- И МАКРОПОРИСТЫХ ПОДЛОЖКАХ Si МЕТОДОМ МАГНЕТРОННОГО НАПЫЛЕНИЯ

Одними из самых перспективных пленочных покрытий являются прозрачные проводящие оксидные покрытия, среди которых особое место занимает оксид цинка. Повышенный интерес вызван уникальной комбинацией оптических и электрофизических свойств оксида цинка. Оксид цинка (ZnO) имеет широкое технологическое применение, в частности, в фотоприемниках, коротковолновых полупроводниковых диодных излучателей (светоизлучающих диодах), тонкопленочных солнечных элементах, сенсорах газа, фотодетекторах и др. [1-2]. На данный момент остается актуальным вопрос о получении пленок оксида цинка с заданными

функциональными характеристиками, способных найти широкое промышленное применение устройств на основе слоев ZnO.

Уже получены пленки оксида цинка разнообразными методами: термическое испарение, химическое газофазное осаждение (CVD) или струйный пиролиз и др. На ряду с перечисленными методами особое место занимает метод магнетронного распыления, который имеет ряд преимуществ.

Для получения пленок ZnO могут быть использованы подложки нитрида галлия (GaN) и карбида кремния (SiC). Однако стоимость данных подложек большого диаметра достаточна высока. С целью удешевления изготавливаемых гетероструктур с пленкой ZnO часто в качестве полупроводниковой подложки используется кремний (Si).

В последнее время ведутся попытки по получению пленок на пористой поверхности полупроводников [3], что связано с возможностью оптимизации условий размера зерна, вакансий кислорода, дефектов и т. д. Широкое применение данные гетероструктуры могут найти при изготовлении источника светодиодных чипов, излучающих белый свет (сочетания сине-зеленой эмиссии от ZnO с красно-оранжевой эмиссией из пористого кремния) [4]. В связи с этим представляются актуальными дальнейшие исследования процесса формирования пористой структуры в системе ZnO/Si и её влияния на упругие напряжения в системе.

Целью настоящей работы является исследование процессов формирования оксида цинка методом реактивным магнетронным ВЧ распылением на подложках кремния ориентации (100) и (111) с предварительно нанесенной системой макро- и мезопор.

Образцы макропористого кремния были получены с использованием кремниевых пластин n- и p-типа проводимости ориентации (100) и (111) с удельным сопротивлением  $1,0 \div 1,5 \text{ Ом}\cdot\text{см}$  методом электрохимического травления. Процесс анодирования проводили с использованием раствора электролита, состоящего из фтористоводородной кислоты (HF) и этанола ( $\text{C}_2\text{H}_5\text{OH}$ ) в соотношении 1: 1. Плотность тока составляла  $J=31,64 \text{ mA}/\text{cm}^2$ .

Таблица 1. Параметры пористого Si (100)

Параметр	Значение		
Глубина пористого слоя $h$ , м	$150 \times 10^{-6}$	$1.8 \times 10^{-6}$	$254 \times 10^{-9}$
Диаметр пор $d$ , м	$500 \times 10^{-9}$	$15 \times 10^{-9}$	$20 \times 10^{-9}$
Расстояние между порами, м	$1,4 \times 10^{-6}$	$10 \times 10^{-9}$	$15 \times 10^{-9}$
Размер пластины, $\text{м}^2$	$10^{-4}$	$10^{-4}$	$10^{-4}$

Напыление пленок ZnO выполнено реактивным магнетронным ВЧ распылением цинковой мишени. Подложки закреплялись в устройстве при помощи специальных зажимов, которые осуществляли их перемещение внутри вакуумной камеры. Подложки и мишень размещали параллельно друг другу на расстоянии 0,07 м. Непосредственно перед процессом нанесения пленок вакуумная система откачивалась до уровня  $10^{-3}$  Па. Давление  $O_2$  в камере составляло 0,1 Па.

РЭМ-изображения поверхности и сколов образцов ZnO/porous-Si/Si демонстрируют существенное изменение морфологии поверхности после синтеза (рис. 1). Так, на поверхности образцов наблюдается структура из небольших кристаллитов.

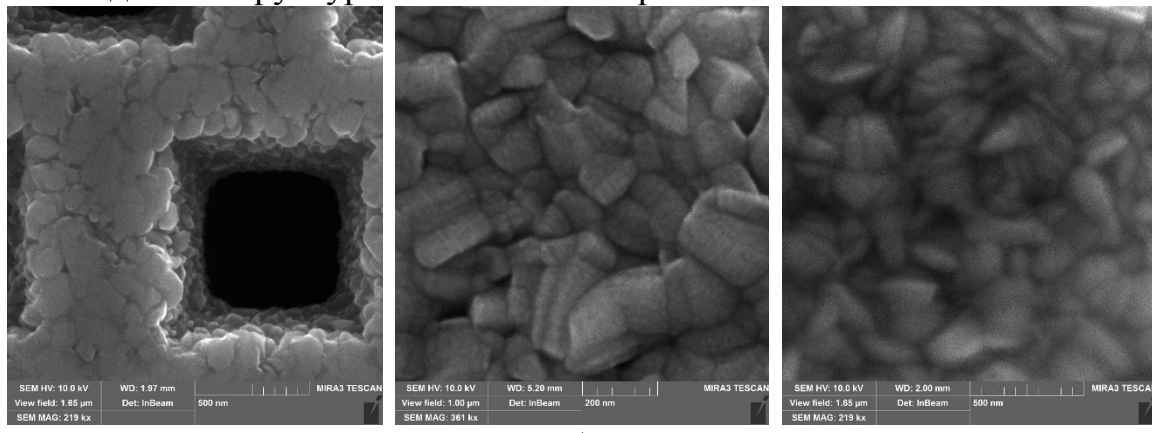


Рис. 1. РЭМ-микрофотографии поверхности пленок ZnO, полученных на поверхности: а) макропористого Si (100), б) мезопористого Si (100), в) мезопористого Si (111).

Микроэлементный анализ выполнялся в двух различных точках пленки ZnO по поверхности образца. Содержание Zn и O оказалось равным 50 % для каждого элемента со статистической погрешностью менее 5 %, что свидетельствует о высокой стехиометричности пленки ZnO на porous-Si (100).

Пленки ZnO, как в случае использования мезопористых подложек Si ориентации (100) и (111), так и макропористых Si ориентации (100), имеют поликристаллическую структуру вюрцита с предпочтительной ориентацией в направлении [0002]. Рентгенограммы имеют основной дифракционный пик (002), который наблюдается на угле  $2\theta=34,64^\circ$  (рис. 2).

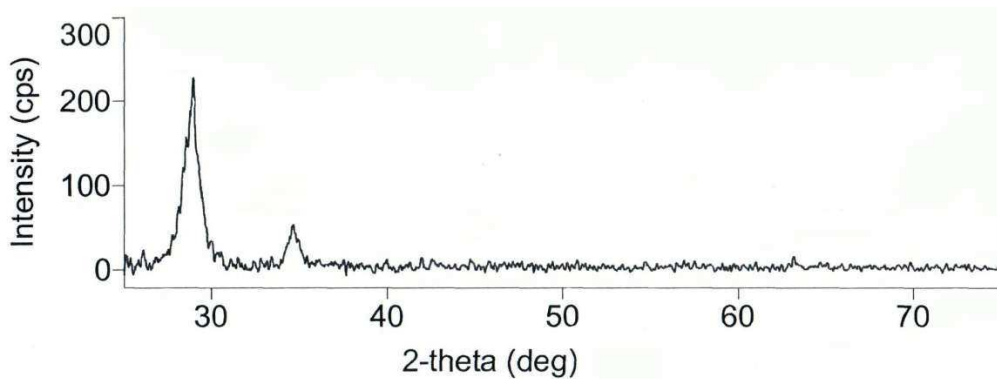


Рис. 2. Дифрактограмма пленки ZnO.

Деформация пленки ZnO, выращенной на пористом кремнии, вдоль с-оси может быть вычислена с помощью следующей формулы:

$$\varepsilon = \frac{c - c_0}{c_0} \cdot 100\%,$$

где  $c$  - постоянная решетки напряженной пленки ZnO, рассчитанная по данным XRD ( $c=5,2260 \text{ \AA}$ ),  $c_0$  представляет собой неустойчивую постоянную решетки для ZnO (константы решетки для гексагональной пленки ZnO приведены в стандартных данных JCPDS  $c_0=5,20661 \text{ \AA}$ ).

Согласно проведенным расчетам деформация пленок ZnO, полученных на мезопористых подложках кремния, составляет  $-0,36\%$ . Отрицательное значение связано с деформацией сжатия. Низкое значение деформации сжатия показало, что выращенная пленка ZnO растягивается вдоль с-оси и свидетельствует о получении высококачественного кристалла.

В настоящей работе методом реактивным магнетронным ВЧ распылением получены пленки ZnO на подложках кремния ориентации (100) и (111) с предварительно нанесенной системой мезо- и макропор. Рентгенографические исследования ZnO показали, что она имеет поликристаллическую природу с гексагональной решеткой типа вюрцита. Средние размеры кристаллитов составили порядка 50-200 нанометров. Микроэлементный анализ выявил практически идеальную стехиометричность ZnO выращенного на porous-Si/Si.

#### ЛИТЕРАТУРА

1. Mridha S. and Basak D. Ultraviolet and visible photoresponse properties of nZnO/p-Si heterojunction. // J. Applied Physics. 2007. Vol. 101. P. 08102
2. Structural, optical, and LED characteristics of ZnO and Al doped ZnO thin films / K. M. Sandeep, ShreeshaBhat, S. M.

Dharmaprakash // Journal of Physics and Chemistry of Solids. Volume 104, May 2017, Pages 36-44

3. ZnO-porous silicon nanocomposite for possible memristive device fabrication / LizethMartínez, Oscar Ocampo, Yogesh Kumar, and VivechanaAgarwal // Nanoscale Res Lett. 2014; 9(1): 437

4. Blue-green and red luminescence from ZnO/porous silicon and ZnO:Cu/porous silicon nanocomposite films / Fuchao Yang, Shuyi Ma, Xiaolei Zhang, Meng Zhang, Faming Li, Jing Liu, Qiang Zhao // Superlattices and Microstructures. – Volume 52, Issue 2, August 2012, Pages 210-220.

УДК 546.03; 544.778.4

К.Р. Ерагер<sup>1</sup>, Д.В. Попова<sup>2</sup>, С.И. Саунина<sup>1</sup>,  
М. А. Викулова<sup>2</sup>, Е.В. Третьяченко<sup>2</sup>,

А.В. Гороховский<sup>2</sup>, Ш.Ш. Ягафаров<sup>1</sup>

(<sup>1</sup>-Челябинский государственный университет,  
Челябинск, Россия, [eragerk@rambler.ru](mailto:eragerk@rambler.ru))

<sup>2</sup>-Саратовский государственный технический университет  
имени Гагарина Ю.А., Саратов, Россия, [algo54@mail.ru](mailto:algo54@mail.ru))

## **ВЛИЯНИЕ УСЛОВИЙ СИНТЕЗА НА ФАЗОВЫЙ СОСТАВ ПОЛИТИТАНАТА КАЛИЯ, МОДИФИЦИРОВАННОГО РАСТВОРАМИ НИТРата ХРОМА (III)**

В работе исследовалось влияние условий термообработки на фазовый состав и морфологию полититаната калия, модифицированного растворами нитрата хрома (III), при различных значениях водородного показателя ( $\text{pH} = 3,5,7,9$ ). Термообработка образцов проводилась при температурах 500 и 900°C при атмосферном давлении и в условиях вакуума.

Фазовый состав образцов определялся методом рентгенофазового анализа (CuKa-излучение) с применением программного обеспечения «EVA» и картотеки PDF-2. Анализ морфологии образцов проводился по изображениям, полученным на сканирующем электронном микроскопе (JEOLJSM-6510), термогравиметрические исследования при атмосферном давлении и в атмосфере аргона с использованием совмещенного синхронного термического анализа (STA 449 F5 Jupiter). Термообработка образцов в условиях вакуума проводилась при давлении  $2 \cdot 10^{-1}$  Па.